

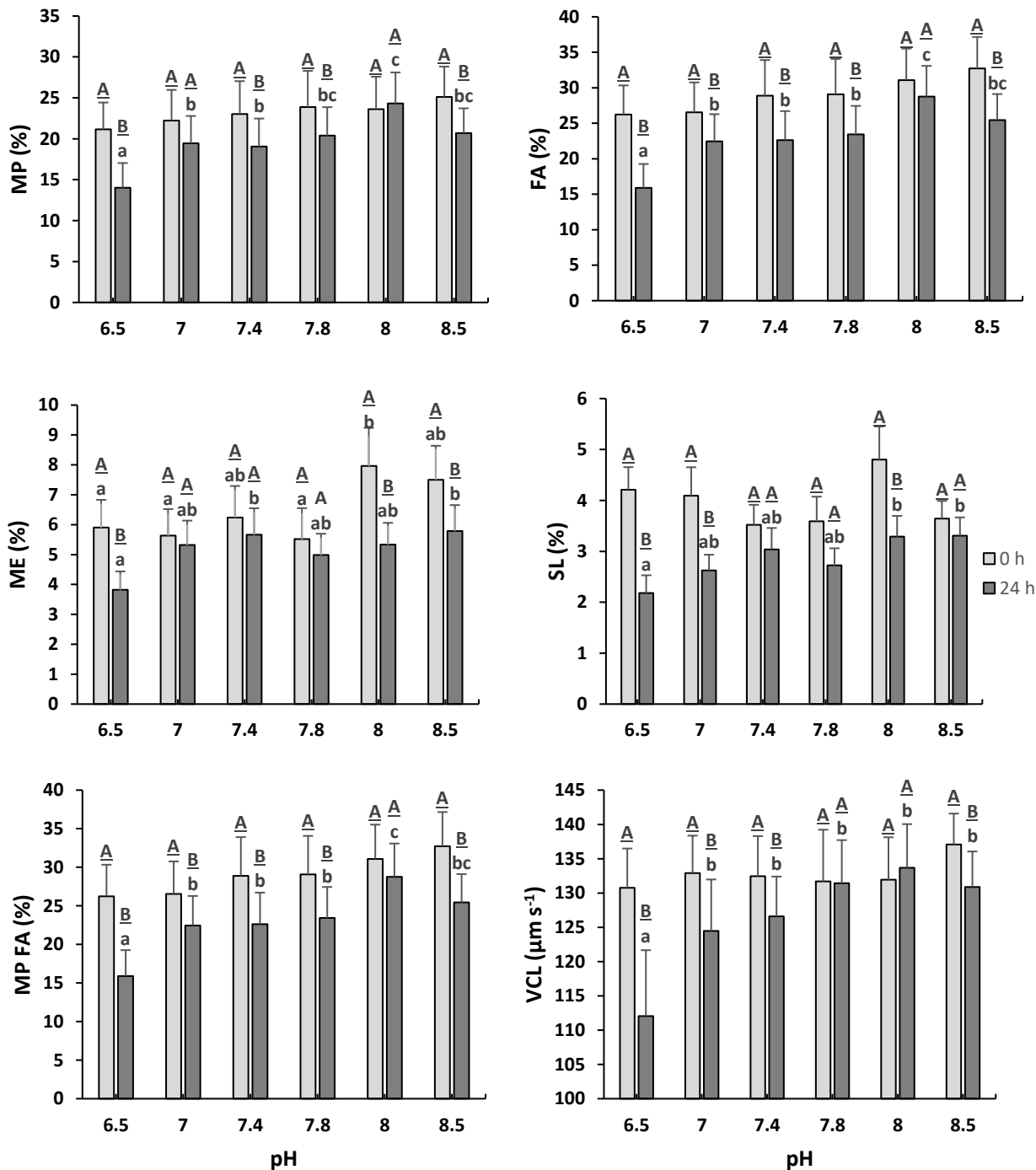
## **ANEXOS**

---

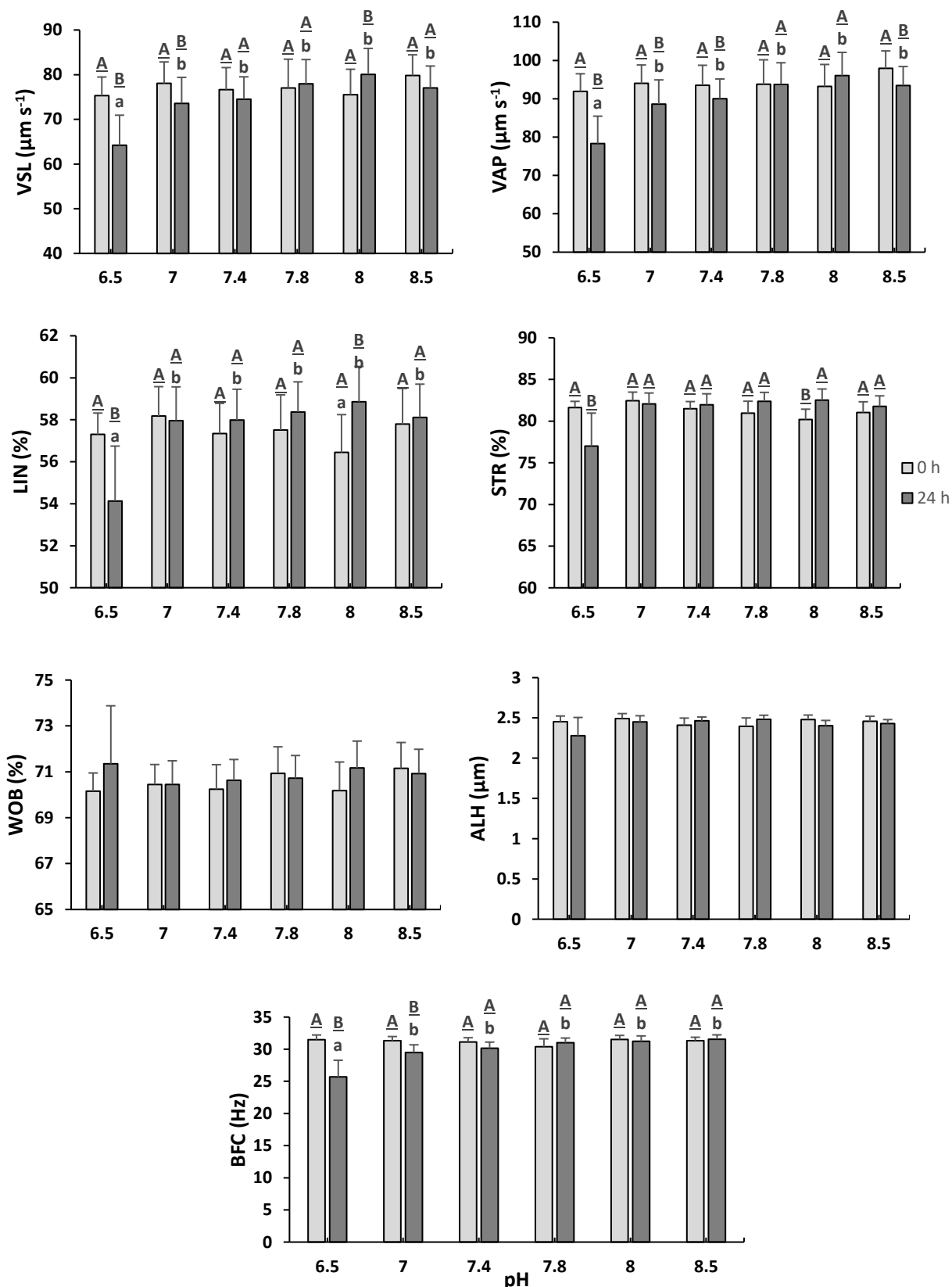
## ANEXOS

### Anexo I

Parámetros cinéticos de la motilidad espermática obtenidos en la prueba 4.1: “*Estudio del efecto del pH del medio diluyente en la motilidad espermática*” (**Figuras 1 y 2**).



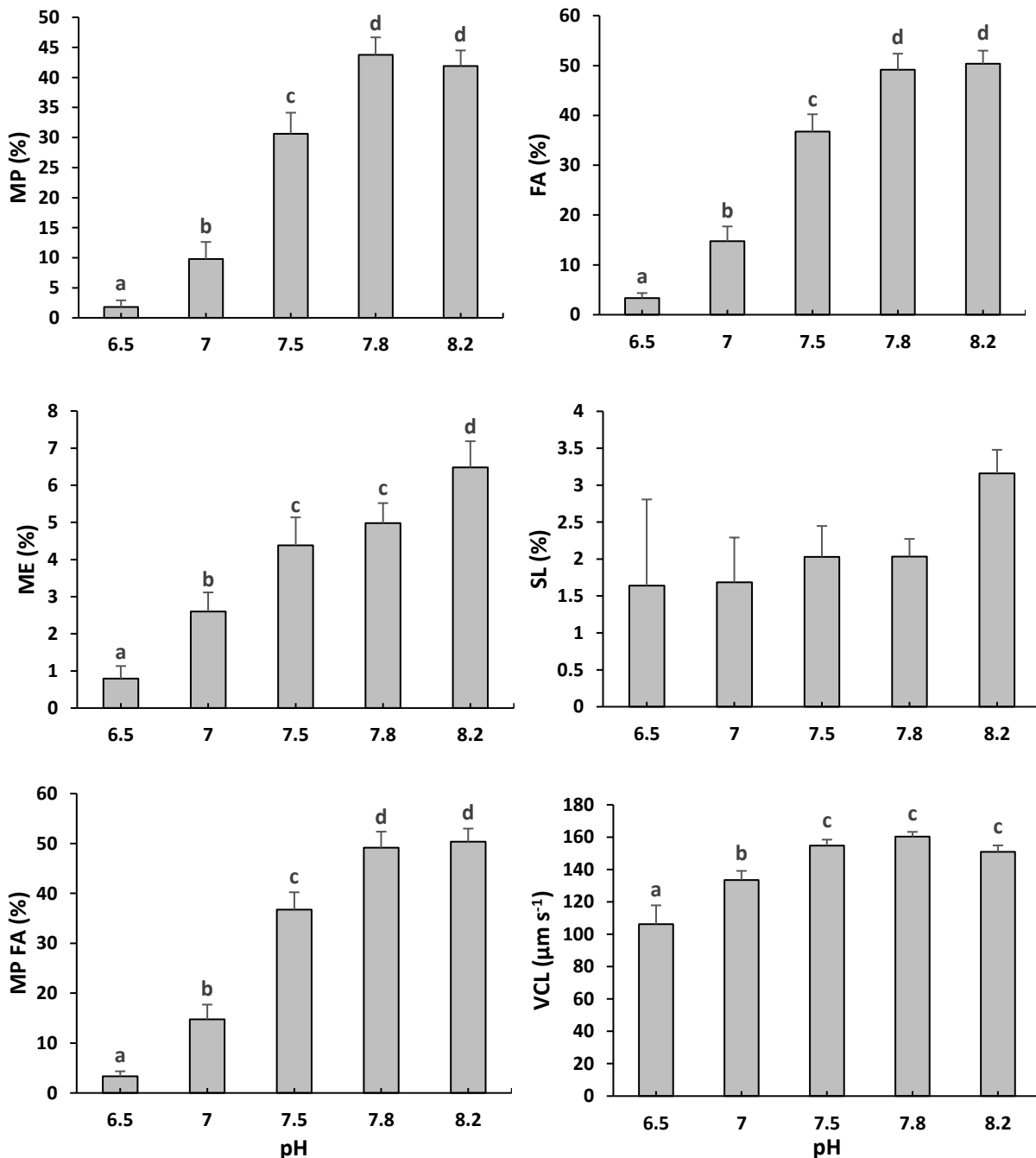
**Figura 1.** Efecto del pH del medio P1 y del Tiempo sobre los parámetros cinéticos de la motilidad espermática MP, FA, ME, SL, MPFA y VCL. Los datos se expresan como media  $\pm$  SEM (n = 14). Letras minúsculas distintas indican diferencias significativas entre los diferentes pH (P < 0.05) para un tiempo concreto. Letras mayúsculas distintas indican diferencias entre los dos tiempos estudiados a un nivel de pH concreto.



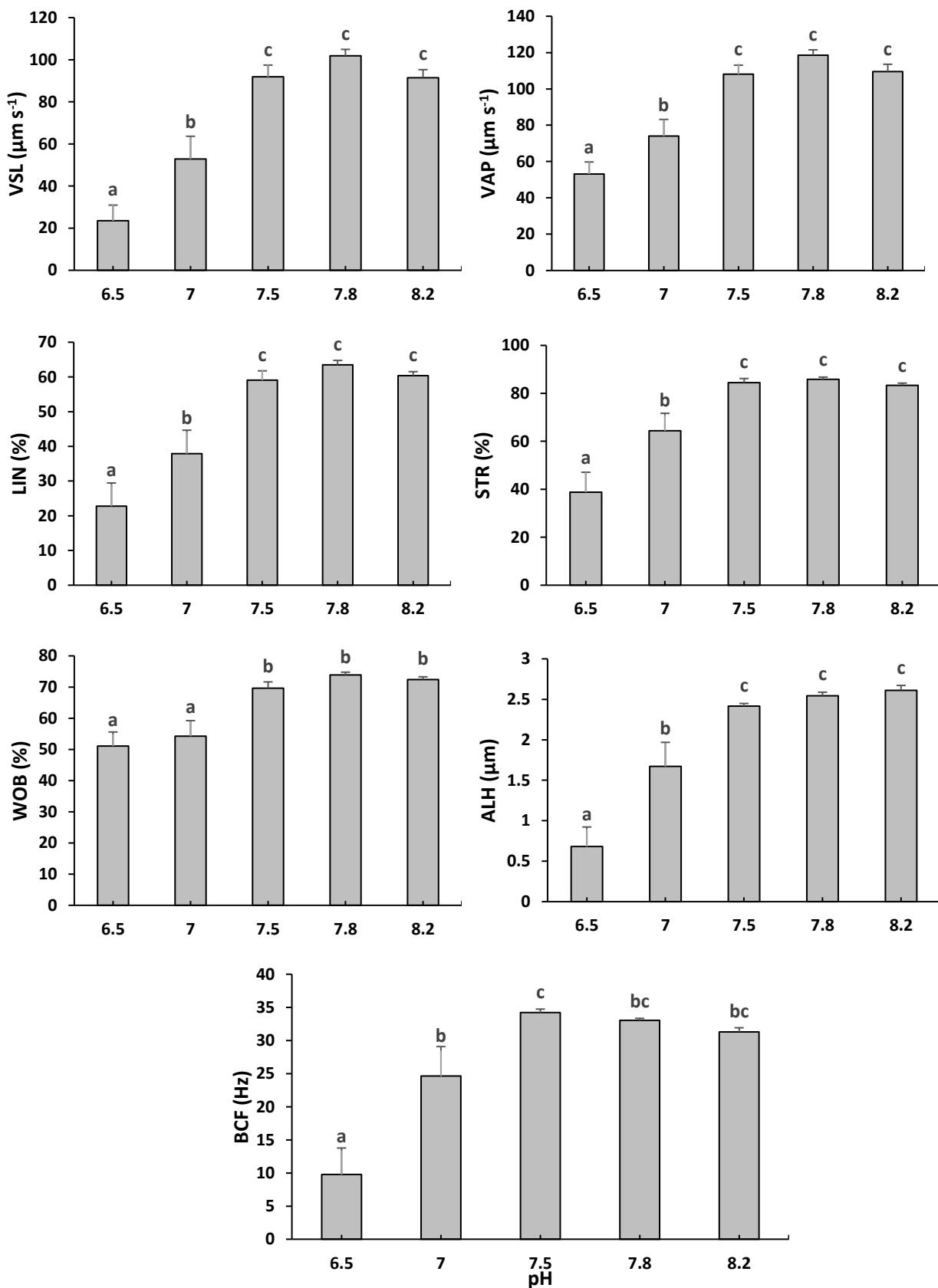
**Figura 1.** Efecto del pH del medio P1 y del Tiempo sobre los parámetros cinéticos de la motilidad espermática VSL, VAP, LIN, STR, WOB, ALH y BCF. Los datos se expresan como media  $\pm$  SEM ( $n = 14$ ). Letras minúsculas distintas indican diferencias significativas entre los diferentes pH ( $P < 0.05$ ) para un tiempo concreto. Letras mayúsculas distintas indican diferencias entre los dos tiempos estudiados a un nivel de pH concreto.

**Anexo II**

Parámetros cinéticos de la motilidad espermática obtenidos en la prueba 4.3: “*Estudio del efecto del pH del medio activador en la motilidad espermática*” (**Figuras 3 y 4**).



**Figura 3.** Parámetros cinéticos de la motilidad espermática (MP, FA, ME, SL, MPFA, VCL) de las muestras activadas con agua de mar a distintos pH. Los datos se expresan como media ± SEM (n = 10). Letras distintas indican diferencias significativas entre los diferentes pH (P < 0.05).



**Figura 4.** Parámetros cinéticos de la motilidad espermática (VSL, VAP, LIN, STR, WOB, ALH, BCF) de las muestras activadas con agua de mar a distintos pH. Los datos se expresan como media  $\pm$  SEM ( $n = 10$ ). Letras distintas indican diferencias significativas entre los diferentes pH ( $P < 0.05$ ).